

# 第六章 系统函数

- 一：系统函数的三种图示法
- 二：系统函数极点和零点与系统时域特性的关系
- 三：系统函数的极点、零点与系统频率特性的关系

# 前讲回顾

# 1: 求全响应: 拉普拉斯变换

$$r''(t) + 5r'(t) + 6r(t) = e'(t) + 5e(t) \quad e(t) = e^{-t} \varepsilon(t) \leftrightarrow \frac{1}{s+1}$$

$$r_{zi}(0^-) = 2, \quad r'_{zi}(0^-) = 1,$$

$$r''(t) \leftrightarrow s^2 R(s) - sr(0^-) - r'(0^-) = s^2 R(s) - 2s - 1$$

$$r(0^-) = r_{zi}(0^-) + r_{zs}(0^-)$$

$$r_{zs}(0^-) = 0$$

$$s^2 R(s) - 2s - 1 + 5sR(s) - 10 + 6R(s) = s \frac{1}{s+1} + \frac{5}{s+1}$$

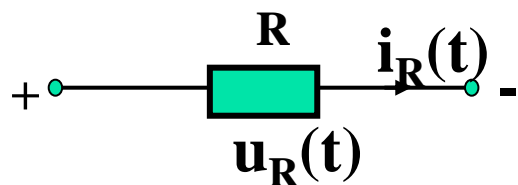
$$R(s) = \frac{2s+11}{s^2+5s+6} + \frac{s+5}{(s+1)(s+2)(s+3)}$$

$$R_{zi}(s)$$

$$E(s)H(s) = R_{zs}(s)$$

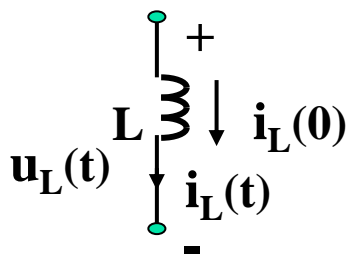
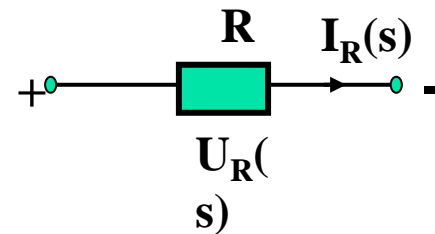
$$H(s) = \frac{s+5}{s^2+5s+6}$$

## 2: 复频域的电路模型



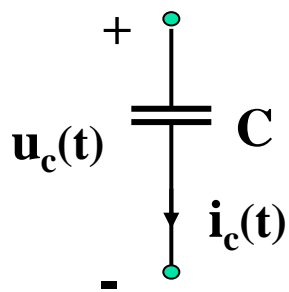
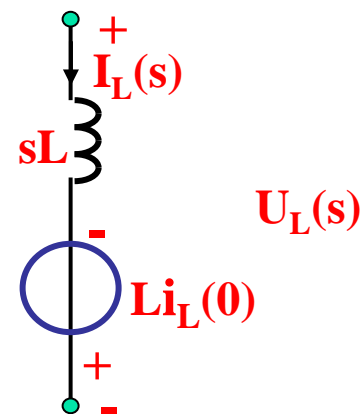
$$\mathbf{u}_R(t) = \mathbf{R} \mathbf{i}_R(t)$$

$$\mathbf{U}_R(s) = \mathbf{R} \mathbf{I}_R(s)$$



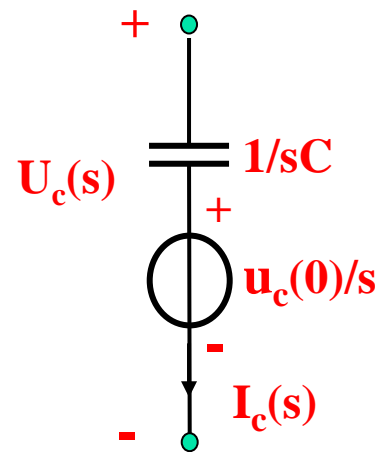
$$u_L(t) = L \frac{di_L(t)}{dt}$$

$$U_L(s) = sLI_L(s) - Li_L(0)$$

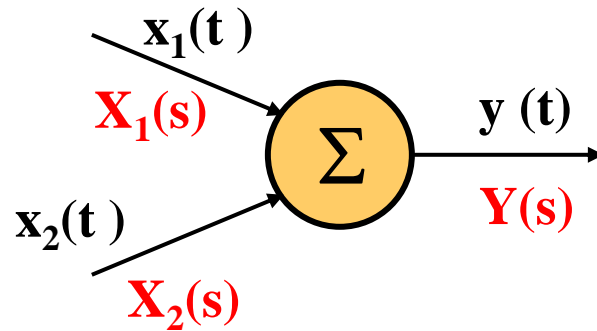


$$u_c(t) = \frac{1}{C} \int_0^t i(\tau) d\tau + u_c(0)$$

$$U_c(s) = \frac{1}{sC} I_c(s) + \frac{1}{s} u_c(0)$$

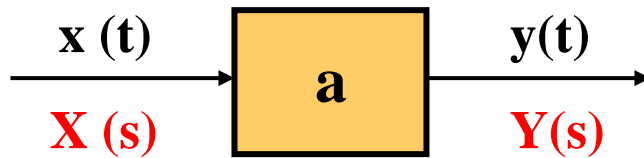


### 3: 线性系统的模拟



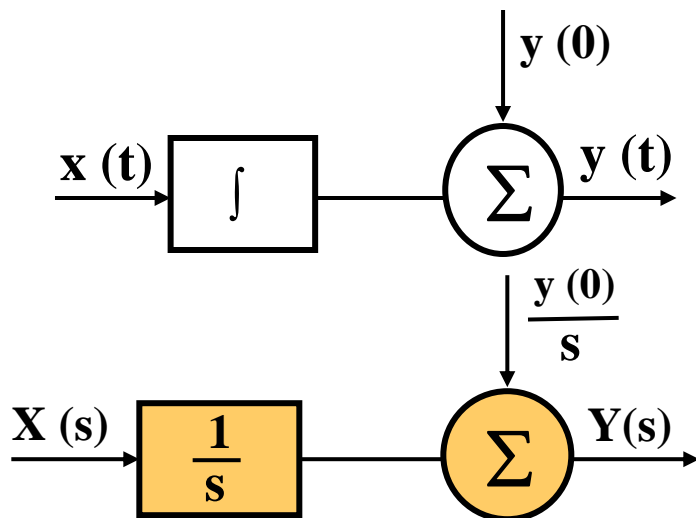
$$y(t) = x_1(t) + x_2(t)$$

$$Y(s) = X_1(s) + X_2(s)$$



$$y(t) = a x(t)$$

$$Y(s) = a X(s)$$



$$y(t) = \int_{-\infty}^t x(\tau) d\tau = \int_{-\infty}^0 x(\tau) d\tau + \int_0^t x(\tau) d\tau$$

$$Y(s) = \frac{y(0)}{s} + \frac{X(s)}{s}$$

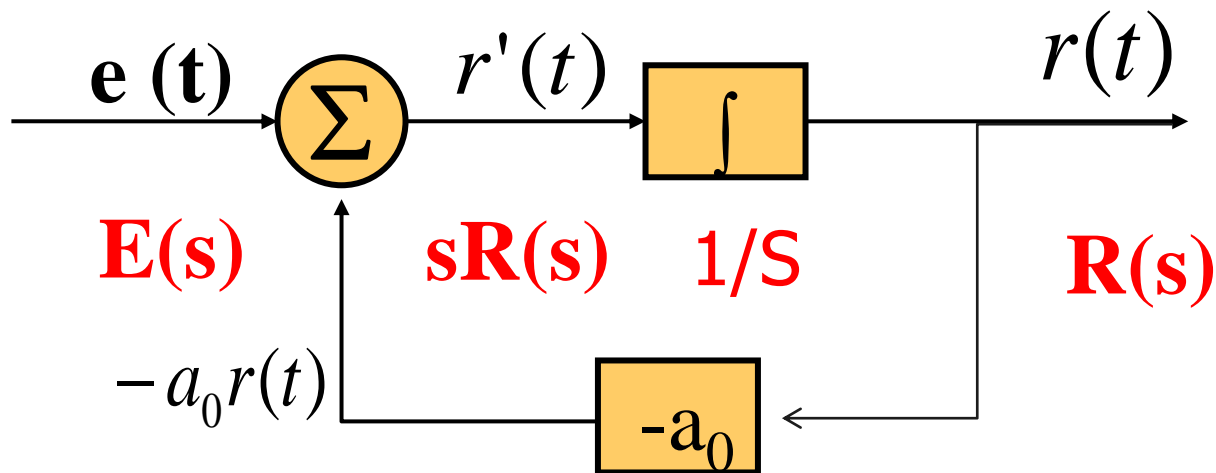
## 直接模拟

- 一阶系统模拟  $r'(t) + a_0 r(t) = e(t)$  初态为0

$$1: \int_0^t r'(t) dt = r(t)$$

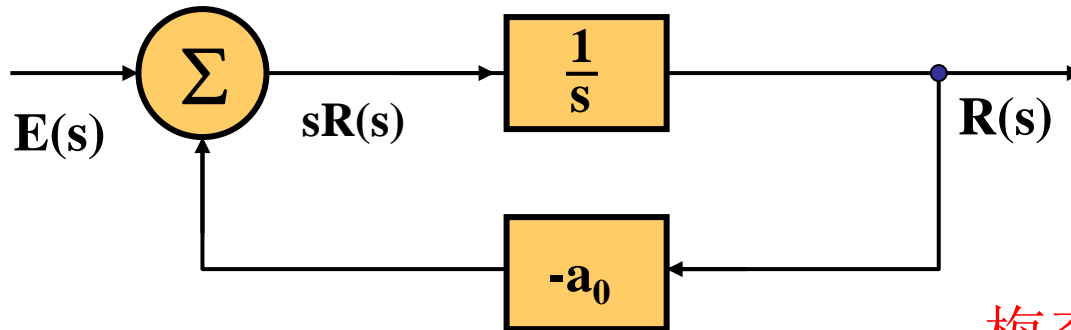
$$2: r'(t) = e(t) - a_0 r(t)$$

$$sR(s) = E(s) - a_0 R(s)$$

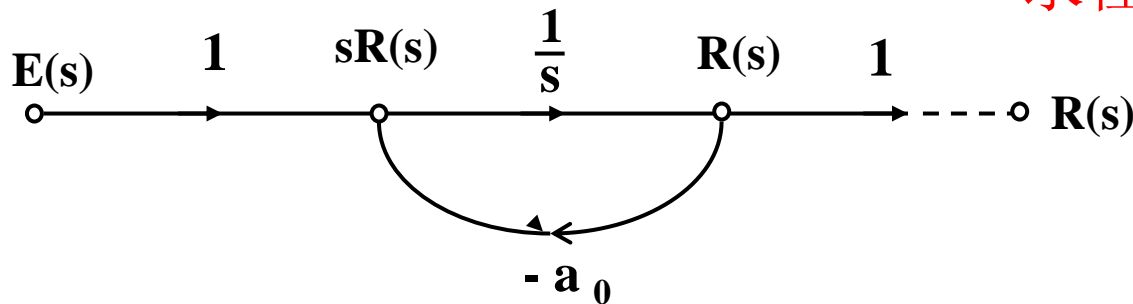


## 4: 信号流图 结点、路径以及标注在路径上的传输值的模拟图

- 结点代表信号变量，同时兼有加法器功能
- 路径连接结点，变量间的因果关系，起点因，终点果
- 传输值是两个变量之间的转移函数



梅森 (Mason) 公式  
求任意流图的的传输函数



# 开讲前言 — 本讲导入

- 系统函数在前面的章节已经介绍
  - 时域中转移算子
  - 频域或复频域关于系统分析用到系统函数
  - 通过系统函数求解零状态响应
  - 通过冲击响应确定系统函数
- 从系统分析的角度看系统函数
  - 系统函数与系统的稳定性
  - 系统函数与系统的频率特性



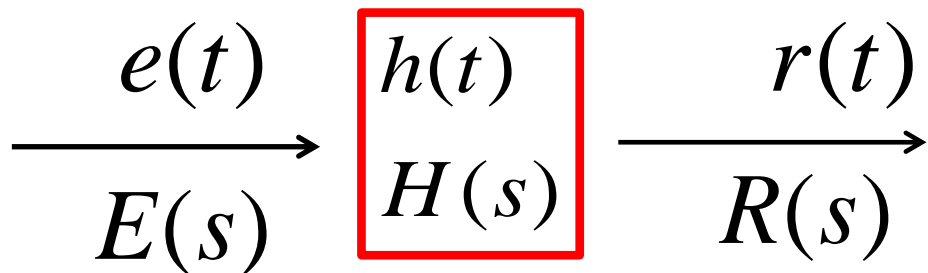
# 一：系统函数的三种图示法

1: 频率特性

2: 复轨迹

3: 极点零点图

# 系统函数



$$h(t) \leftrightarrow H(s)$$

单位冲激响应      系统函数

线性时不变系统的系统函数是有理的

$$H(s) = \frac{R_{zs}(s)}{E(s)} = \frac{b_m s^m + b_{m-1} s^{m-1} + \text{L} + b_1 s + b_0}{a_n s^n + a_{n-1} s^{n-1} + \text{L} + a_1 s + a_0} = \frac{N(s)}{D(s)}$$

# 1: 频率特性

$h(t)$ 的傅里叶变换 $H(j\omega)$ 存在

频率响应函数  $H(j\omega) = H(s)|_{s=j\omega}$  收敛条件包括0时

$$H(j\omega) = U(j\omega) + jV(j\omega) = |H(j\omega)|e^{j\varphi(\omega)}$$

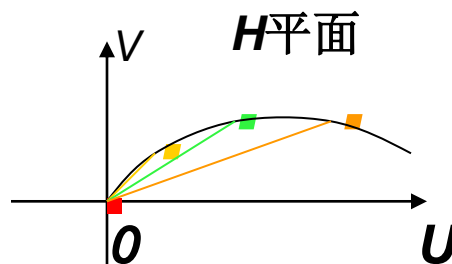
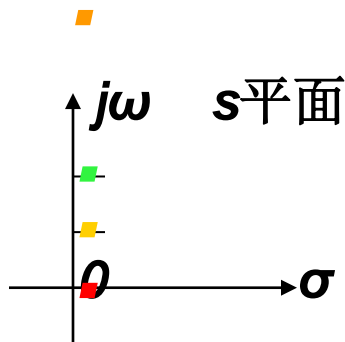
幅频特性:  $|H(j\omega)| \sim \omega$

相频特性:  $\varphi(\omega) \sim \omega$

## 2复轨迹

在正弦信号激励下（即  $\sigma = 0, s = j\omega$ ），复变量  $\mathbf{s}$  在  $\mathbf{s}$  平面中沿  $j\omega$  轴变化（ $j0 \rightarrow j\infty$ ），映射到  $\mathbf{H}$  平面中得到的一条曲线称为系统函数的复轨迹（用极坐标表示）。

$$H(s) = |H|e^{j\varphi} = U + jV \quad U = \operatorname{Re}[H] \quad V = \operatorname{Im}[H]$$



### 3: 极点零点图

$$H(s) = \frac{b_m s^m + b_{m-1} s^{m-1} + \cdots + b_1 s + b_0}{a_n s^n + a_{n-1} s^{n-1} + \cdots + a_1 s + a_0} = \frac{N(s)}{D(s)}$$

$$H(s) = H_0 \frac{(s - z_1)(s - z_2) \cdots (s - z_m)}{(s - p_1)(s - p_2) \cdots (s - p_n)} \quad H_0 = \frac{b_m}{a_n}$$

$$H(s) = \infty$$

$D(s) = 0$  的根:  $p_1, p_2, \cdots, p_n$  称为函数  $H(s)$  的极点

$$H(s) = 0$$

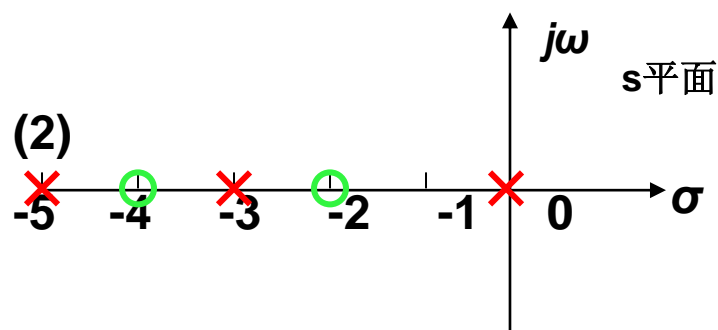
$N(s) = 0$  的根:  $z_1, z_2, \cdots, z_m$  称为函数  $H(s)$  的零点

**极零图：**把系统函数的极点和零点标绘在 $s$ 平面中，就成为极点零点分布图，简称极零图。

例 
$$H(s) = \frac{(s+2)(s+4)}{s(s+3)(s+5)^2}$$

极点：  $p_1 = 0$ (一阶),  $p_2 = -3$ (一阶),  $p_3 = -5$ (二阶)

零点：  $z_1 = -2$ (一阶),  $z_2 = -4$ (一阶)



## 系统函数与极点零点分布规律

- 极点和零点在实轴上或者与实轴镜像成对。
- 个数相同

$n < m$  , 则当  $s \rightarrow \infty$  时, 无穷大处有  $(m - n)$  阶极点

$$\lim_{s \rightarrow \infty} H(s) = \lim_{s \rightarrow \infty} \frac{b_m}{a_n} s^{m-n} = \infty$$

$n > m$  , 则当  $s \rightarrow \infty$  时, 无穷大处有  $(n - m)$  阶零点

$$\lim_{s \rightarrow \infty} H(s) = \lim_{s \rightarrow \infty} \frac{b_m s^m}{a_n s^n} = \lim_{s \rightarrow \infty} \frac{b_m}{a_n} s^{-(n-m)} = 0$$

复变函数理论:  $s$  为 0 和无穷大都是在虚轴上

# 分析极点零点的意义

从极点分布可以知道系统响应所具有的模式，从而可以了解系统是否稳定。

从零点分布可以了解响应分量的相位与幅度。

从极零点分布可以求得系统的频率特性。



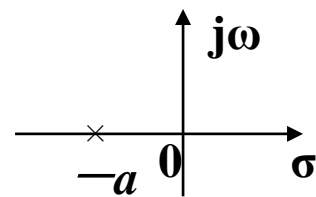
## 二：系统函数极点和零点与 系统时域特性的关系

# 1: 极点左半s平面

1) 在实轴  $p_i = -a, a > 0$

$$H_i(s) = \frac{k_i}{s + a} \Rightarrow h_i(t) = k_i e^{-at}$$

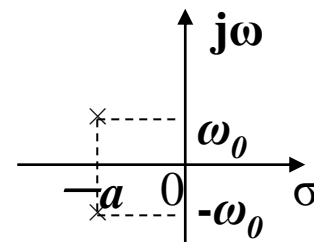
——按指数规律衰减



2) 不在实轴上  $p_i = -a \pm j\omega_0$

$$H_i(s) = \frac{s + a}{(s + a)^2 + \omega_0^2} \Rightarrow h_i(t) = e^{-at} \cos \omega_0 t$$

——减幅的余弦振荡



## 2: 极点在虚轴上

### 1): 原点

- 单极点, 例如  $H(S)=b_k/s$      $h(t)=b_k\varepsilon(t)$  阶跃保持
- 重极点, 例如  $H(S)=b_k/s^2$      $h(t)=b_k t\varepsilon(t)$  增长无界

### 2): 轴上

- 单极点, 例如  $h(t)=\cos\omega t, t>0$      $p_{1,2}=\pm j\omega$ (等幅振荡)

$$H_i(s) = \frac{s}{s^2 + \omega_0^2} \leftrightarrow h_i(t) = \cos\omega_0 t$$

- 重极点, 例如  $h(t)=t\sin\omega t\varepsilon(t)$      $p_{1,2,3,4}=\pm j\omega$ (增长振荡)

$$H(s) = \frac{s}{(s^2 + \omega_1^2)^2}$$

### 3：极点在右半平面

1). 在实轴上（正）  $p_i = a, a > 0$

$$H_i(s) = \frac{k_i}{s - a} \Rightarrow h_i(t) = k_i e^{at}$$

——按指数规律增长

2). 不在实轴上（正）

$$p_i = a \pm j\omega_0, a > 0$$

$$H_i(s) = \frac{s - a}{(s - a)^2 + \omega_0^2} \Rightarrow h_i(t) = e^{at} \cos \omega_0 t$$

——增幅的余弦振荡

# 结论一：极点零点分布决定时域波形

1: 极点位置决定时域波形变化规律  
(如: 衰减/增幅速率、振荡频率等)

- 时间函数的幅度由极点的实部决定
- 时间函数的频率由极点的虚部决定

2: 零点只决定时间函数的相位和幅度

$$H(s) = \frac{s + b}{(s + a)^2 + \omega^2}$$

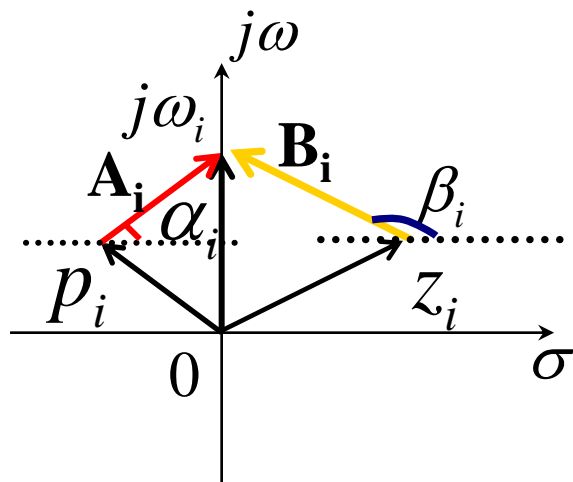
$$h(t) = \frac{\sqrt{(b-a)^2 + \omega^2}}{\omega} e^{-at} \cos(\omega t - \varphi) \quad \varphi = \operatorname{tg}^{-1} \frac{b-a}{\omega}$$

### 三：系统函数的极点、零点 与系统频率特性的关系

$$H(s) = H_0 \frac{(s - z_1)(s - z_2) \cdots (s - z_m)}{(s - p_1)(s - p_2) \cdots (s - p_n)} \quad H_0 = \frac{b_m}{a_n}$$

$$H(j\omega) = H_0 \frac{(j\omega - z_1)(j\omega - z_2) \cdots (j\omega - z_m)}{(j\omega - p_1)(j\omega - p_2) \cdots (j\omega - p_n)} = |H(j\omega)| e^{j\varphi(\omega)}$$

$j\omega, z_i, p_k$  均为复数，可用矢量表示



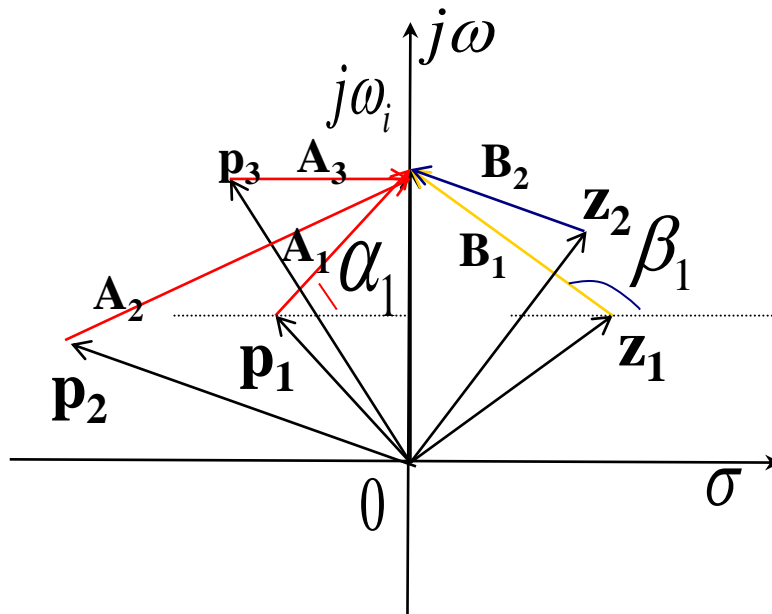
$$j\omega - z_i = B_i e^{j\beta_i}$$

$$j\omega - p_i = A_i e^{j\alpha_i}$$

$$H(j\omega) = H_0 \frac{(j\omega - z_1)(j\omega - z_2)}{(j\omega - p_1)(j\omega - p_2)(j\omega - p_3)}$$

$$H(j\omega) = \frac{B_1 B_2}{A_1 A_2 A_3} e^{j(\beta_1 + \beta_2 - \alpha_1 - \alpha_2 - \alpha_3)} = |H(j\omega)| e^{j\varphi(\omega)}$$

$$|H(j\omega)| = \frac{B_1 B_2}{A_1 A_2 A_3} \quad \varphi(\omega) = \beta_1 + \beta_2 - \alpha_1 - \alpha_2 - \alpha_3$$





- 针对变量变化趋势，列表反映

列表:

$\omega$	$ H(j\omega) $	$\varphi(\omega)$
$\omega_1$	$ H(j\omega_1) $	$\varphi(\omega_1)$
$\omega_2$	$ H(j\omega_2) $	$\varphi(\omega_2)$
$\vdots$	$\vdots$	$\vdots$

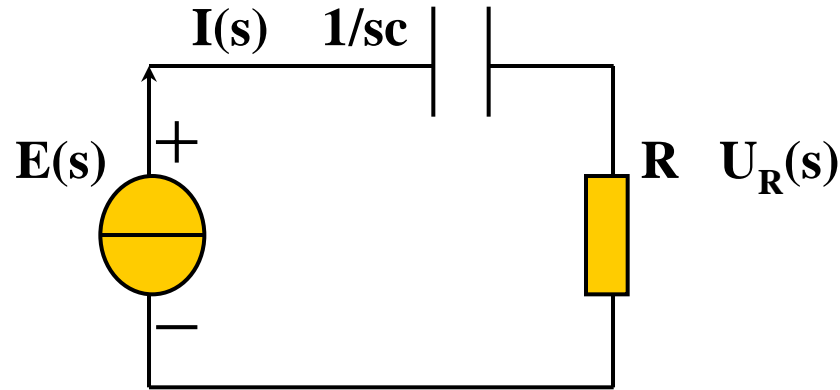
$$|H(\omega)| \sim \omega$$

作出幅频曲线

$$\varphi(\omega) \sim \omega$$

作出相频曲线

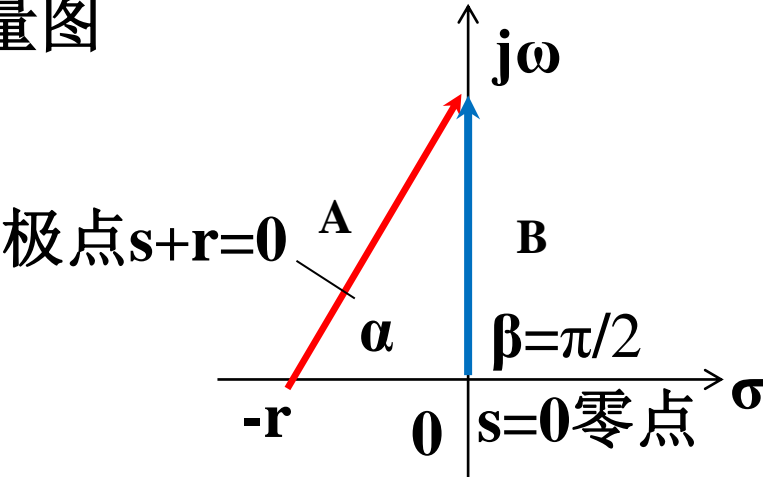
例:RC电路在正弦电压作用下的频率响应特性。



$$\textcircled{1} \quad H(s) = \frac{U_R(s)}{E(s)} = \frac{R}{R + \frac{1}{sc}} = \frac{s}{s + r} \quad \text{式中: } r = \frac{1}{RC}, \quad p = -r, \quad z=0;$$

$$\textcircled{2} \quad H(j\omega) = \frac{j\omega}{j\omega + r} = \frac{\dot{B}}{\dot{A}} = \frac{B}{A} e^{j\varphi(\omega)}$$

③作矢量图



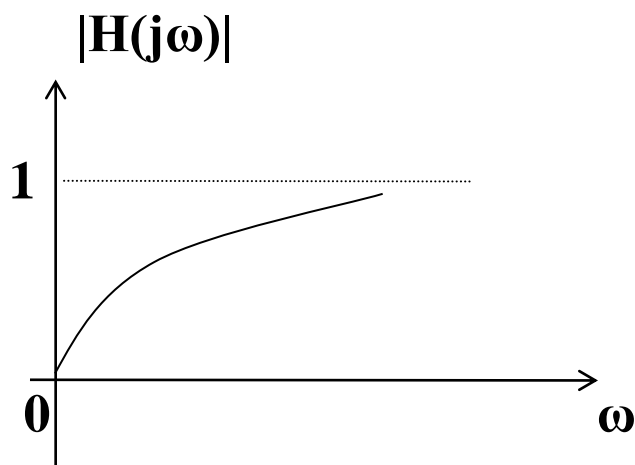
$|H(j\omega)|=B/A$

$\varphi(\omega)=\beta-\alpha$

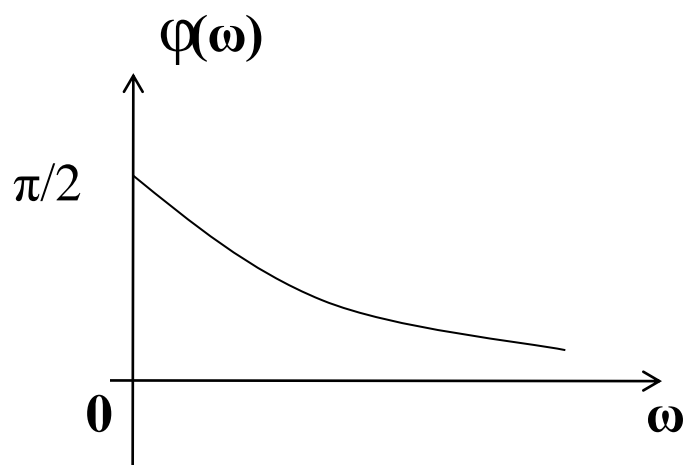
④列表

$\omega$	$B$	$A$	$ H(j\omega) $	$\varphi(\omega)$
$0$	$0$	$r$	$0$	$\pi/2$
$\omega$	$\uparrow \uparrow$	$\uparrow$	$\uparrow$	$\downarrow$
$\vdots$	$\vdots$	$\vdots$	$\vdots$	$\vdots$
$\infty$	$\infty$	$\infty$	$1$	$0$

## ⑤描绘趋势

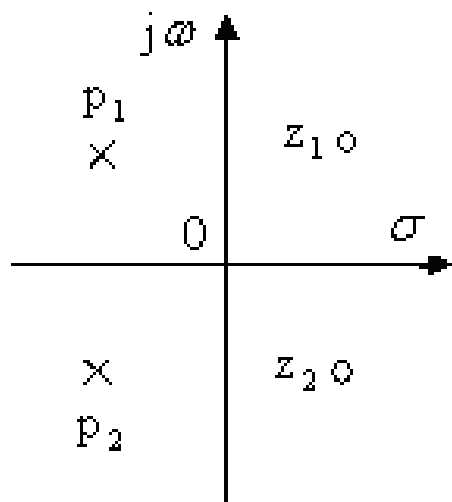


幅频曲线



相频曲线

**全通函数：**在右半面的零点和在左半面的极点分别对虚轴互成镜像的网络函数。



$$p_1 = p_2^* = -z_2 = -z_1^*$$

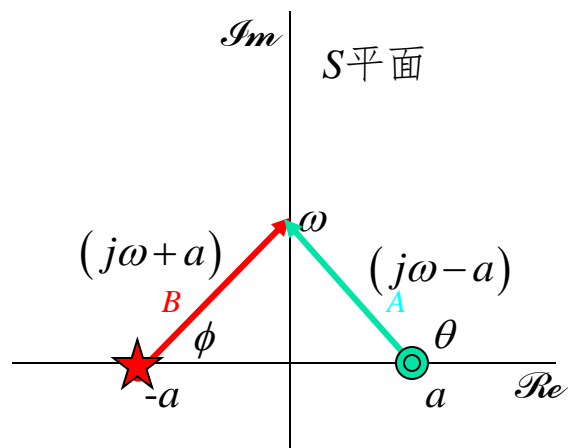
$$\text{由于 } |H(j\omega)| = H_0 \frac{B_1 B_2 \cdots B_m}{A_1 A_2 \cdots A_n}$$

$$\text{于是 } |H(j\omega)| = H_0$$

即此种网络对各种频率的信号可以一视同仁的传输。  
故常来做相位校正而不产生幅度失真。

# 全通系统

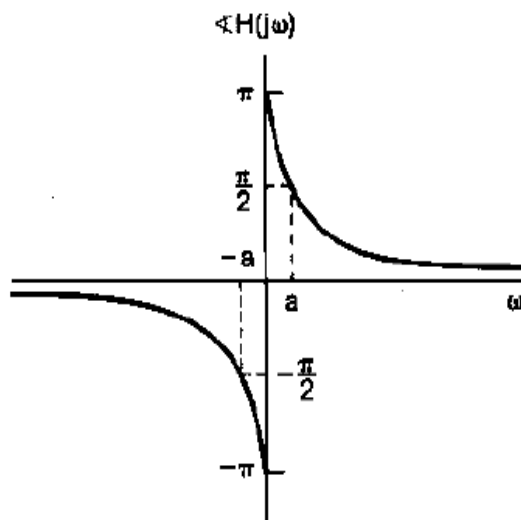
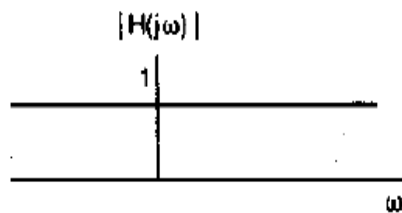
零极点对称虚轴，  
频率响应的模与频率无关，是一个常数



$$H(j\omega) = \frac{j\omega - a}{j\omega + a}$$

$$|H(j\omega)| = 1$$

$$\angle\{H(j\omega)\} = \theta - \phi = \pi - 2\phi = \pi - 2\arctan(\omega/a)$$



# 本讲小结

- 系统函数的定义
- 系统函数的表示方法
  - 频率特性、复轨迹、极点零点图
  - 重点介绍极零图的表示方法
- 系统函数极点零点分布与系统稳定性
  - 右半平面极点系统不稳定
  - 左半平面极点系统稳定
  - 虚轴极点特殊考虑
- 系统函数极点零点分布与系统频率特性
  - 系统函数极点零点的矢量表示
  - 极点零点附近的幅度、相位特征

# 信号与线性系统

## 第 14 次课外作业

教材习题: 6.2、 6.8